

**ЛЕКЦИЯ №17.** Общая характеристика псевдошумовых сигналов (ПШС). Импульсы, кодированные кодом Баркера, М-последовательности.

#### 4.2.2. Сигналы с многолепестковой функцией неопределенности

Функцию неопределенности такого типа имеют последовательности (пачки) одинаковых, равноотстоящих друг от друга импульсов

$$s(t) = \text{Re} \left[ \sum_{i=0}^{N-1} \dot{S}_0(t - iT) \right], \quad (4.16)$$

где  $T$  - период повторения импульсов в пачке ( $T > 2\Delta$ ),  $\dot{S}_0(t)$  - комплексная огибающая одиночного импульса.

Найдем функцию неопределенности пачки импульсов

$$\begin{aligned} \Psi(\tau, f) &= \frac{1}{2E} \int_{-\infty}^{\infty} \dot{S}(t) S^*(t - \tau) \exp(j2\pi ft) dt = \\ &= \frac{1}{2E} \int_{-\infty}^{\infty} \sum_{i=0}^{N-1} \dot{S}_0(t - iT) \sum_{i=0}^{N-1} \dot{S}_0(t - \tau - iT) \exp(j2\pi ft) dt = \\ &= \frac{1}{2E} \sum_{i=0}^{N-1} \sum_{k=0}^{N-1} \int_{-\infty}^{\infty} \dot{S}_0(t - iT) \dot{S}_0(t - \tau - kT) \exp(j2\pi ft) dt = [\theta = t - iT] = \quad (4.17) \\ &= \frac{1}{2E} \sum_{i=0}^{N-1} \sum_{k=0}^{N-1} \int_{-\infty}^{\infty} \dot{S}_0(\theta) \dot{S}_0(\theta - \tau - (k - i)T) \exp(j2\pi \theta f) d\theta \exp(j2\pi iTf) = \\ &= \frac{E_0}{E} \sum_{i=0}^{N-1} \sum_{k=0}^{N-1} \Psi_0(\tau + (k - i)T, f) \exp(j2\pi iTf). \end{aligned}$$

Характер функции неопределенности в этом случае иллюстрирует Рис.4.10, на котором показана частотновременная ФН последовательности 5-ти прямоугольных импульсов.

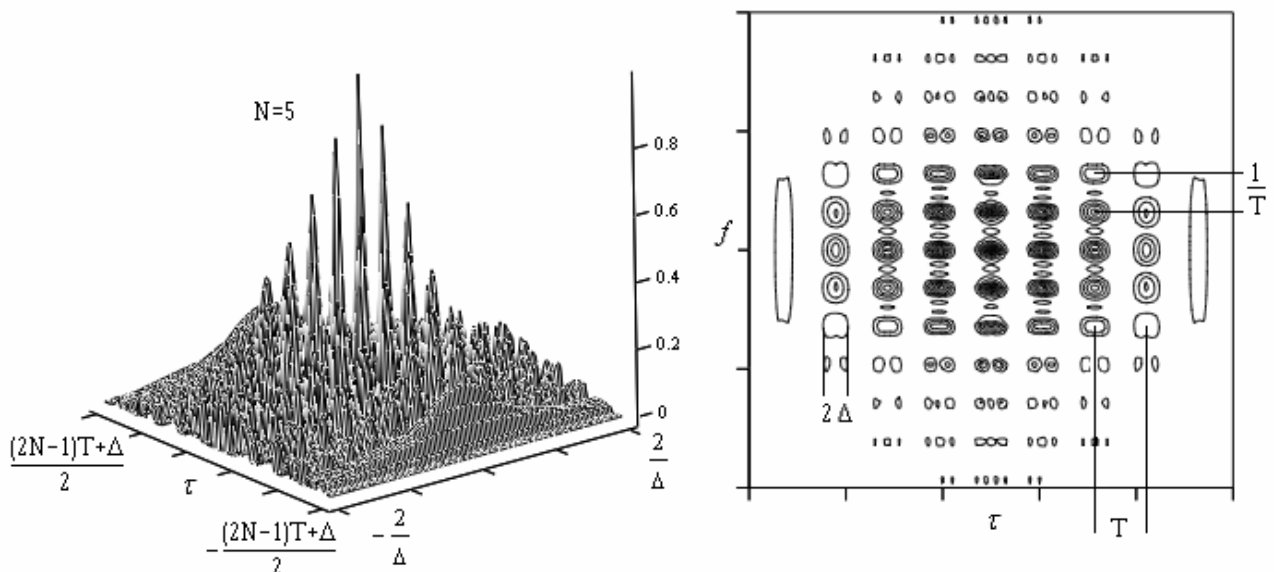


Рис.4.10. Модуль частотновременной ФН 5-ти прямоугольных

импульсов (функция слева, контур справа).

При  $T > 2\Delta$  в сечении задержки мы имеем  $2N - 1$  копий функций неопределенности одиночного импульса, сдвинутых на  $T$ .

В области частотного сдвига мы имеем в принципе неограниченную последовательность пиков, интервал между которыми  $\frac{1}{T}$ , причем эта последовательность промодулирована по амплитуде функцией неопределенности одиночного импульса.

Действительно

$$\begin{aligned}\Psi(0, f) &= \frac{E_0}{E} \sum_{i=0}^{N-1} \sum_{k=0}^{N-1} \Psi_0((k-i)T, f) \exp(j2\pi i T f) = \\ &= \frac{E_0}{E} \Psi_0(0, f) \sum_{i=0}^{N-1} \exp(j2\pi i T f) = \frac{E_0}{E} \Psi_0(0, f) \exp(j(N+1)\pi T f) \frac{\sin(N\pi T f)}{\sin(\pi T f)}.\end{aligned}\quad (4.18)$$

Т.о. область изменения параметров задержки и частоты, в которой возможно однозначное измерение, ограничена диапазоном  $\left[-\frac{T}{2}, \frac{T}{2}\right]$  по задержке и  $\left[-\frac{1}{2T}, \frac{1}{2T}\right]$  по частоте. При этом разрешающая способность по задержке равна  $\Delta$ , по частоте  $\frac{1}{NT}$ .

### 4.2.3. Сигналы с кнопочной функцией неопределенности

Функция неопределенности такого типа соответствует представлениям об идеальном сигнале для одновременного измерения задержки и частоты. Такой сигнал должен иметь узкий пик частотновременной ФН и низкий уровень боковых лепестков.

Если  $\Delta$  - длительность сигнала,  $\Delta f$  - полоса частот, то область основного пика ФН занимает объем  $V_n = \frac{1}{\Delta f} \frac{1}{\Delta} = \frac{1}{B}$ , в этом случае в соответствии с принципом неопределенности Вудворда на боковые лепестки приходится объем  $V_{bl} = 1 - V_n = 1 - \frac{1}{B}$ .

Тогда уровень боковых лепестков частотновременной ФН  $\rho$  удовлетворяет неравенству

$$\rho \geq \sqrt{\frac{B-1}{2B^2}}, \quad (4.19)$$

где  $B$  - база сигнала. Т.о. поиск сигналов с кнопочной ФН нужно искать среди сигналов с большой базой.

Для реализации кнопочной ФН используются два типа сигналов: сигналы с немонотонной частотной модуляцией и сигналы с псевдослучайным

кодированием последовательностей импульсов по частоте, фазе или временному положению в пачке.

Примером сигналов первого типа является сигнал с V-образной частотной модуляцией вида

$$\dot{S}(t) = \frac{1}{\sqrt{2}} \left[ S_0^* \left( t + \frac{\Delta}{2} \right) + \dot{S}_0 \left( t - \frac{\Delta}{2} \right) \right], \quad (4.20)$$

где  $\dot{S}_0(t)$  - комплексная огибающая ЛЧМ импульса (4.11).

Аналогичными свойствами обладает сигнал с квадратичной частотной модуляцией (ЧМ).

$$\dot{S}(t) = \frac{1}{\sqrt{\Delta}} \text{rect} \left( \frac{t}{\Delta} \right) \exp(j\pi\alpha t^3). \quad (4.21)$$

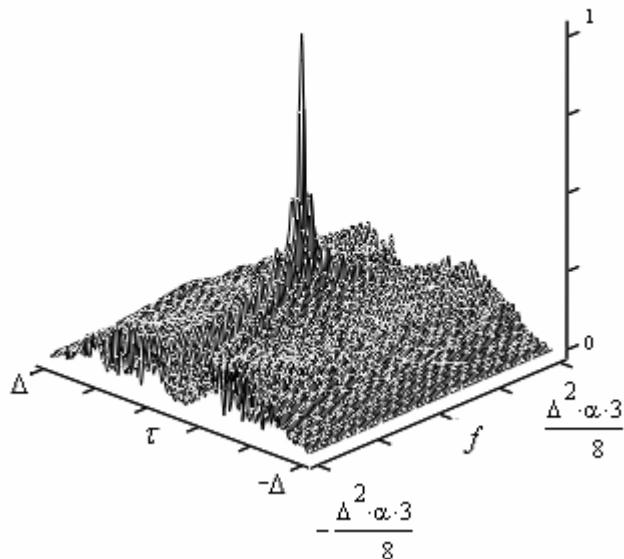


Рис.4.11. Модуль частотновременной ФН сигнала с квадратичной ЧМ.

Наибольшее распространение в радиотехнике имеют сигналы на основе последовательностей кодированных по псевдослучайному закону импульсов. Сигналы такого типа имеют вид

$$s(t) = \text{Re} \left[ \sum_{i=0}^{N-1} \dot{a}_i \dot{S}_0(t - i\Delta) \right], \quad (4.22)$$

где  $\dot{S}_0(t)$  - комплексная огибающая одиночного импульса,  $\Delta$  - длительность импульса. Такую последовательность импульсов часто называют пакетом, а последовательность амплитуд и фаз  $\{\dot{a}_i\}$  кодовой последовательностью.

Найдем функцию неопределенности пакета импульсов

$$\begin{aligned}
\dot{\Psi}(\tau, f) &= \\
&= \frac{1}{2E} \sum_{i=0}^{N-1} \sum_{k=0}^{N-1} \dot{a}_i a_k^* \int_{-\infty}^{\infty} \dot{S}_0(\theta) \dot{S}_0(\theta - \tau - (k-i)T) \exp(j2\pi\theta f) d\theta \exp(j2\pi i T f) = \\
&= \frac{E_0}{E} \sum_{i=0}^{N-1} \sum_{k=0}^{N-1} \dot{a}_i a_k^* \dot{\Psi}_0(\tau + (k-i)T, f) \exp(j2\pi i T f) = \\
&= \left[ \begin{matrix} m = k - i \\ i = k - m \end{matrix} \right] = \frac{E_0}{E} \sum_{k=0}^{N-1} \sum_{m=k}^{N-1} \dot{a}_{k-m} a_k^* \dot{\Psi}_0(\tau + mT, f) \exp(j2\pi(k-m)Tf)
\end{aligned}$$

Переходя к бесконечным индексам и добивая нулями до бесконечности последовательность  $\{\dot{a}_i\}$ , получим

$$\begin{aligned}
\dot{\Psi}(\tau, f) &= \frac{E_0}{E} \sum_{k=-\infty}^{k=\infty} \sum_{m=-\infty}^{m=+\infty} \dot{a}_{k-m} a_k^* \dot{\Psi}_0(\tau + mT, f) \exp(j2\pi(k-m)Tf) = \\
&= \sum_{m=-\infty}^{m=+\infty} \dot{\Psi}_0(\tau + mT, f) \exp(-j2\pi(m)Tf) \left( \frac{E_0}{E} \sum_{k=-\infty}^{k=\infty} \dot{a}_{k-m} a_k^* \exp(j2\pi k T f) \right).
\end{aligned}$$

Обозначим в виде

$$\dot{\Psi}_a(m, f) = \frac{E_0}{E} \sum_{k=-\infty}^{k=\infty} \dot{a}_{k-m} a_k^* \exp(j2\pi k T f), \quad (4.23)$$

функцию неопределенности кодовой последовательности, тогда

$$\dot{\Psi}(\tau, f) = \sum_{m=-\infty}^{m=+\infty} \dot{\Psi}_0(\tau + mT, f) \dot{\Psi}_a(m, f) \exp(-j2\pi(m)Tf). \quad (4.24)$$

Из этого выражения видно, что, подбирая коэффициенты кодовой последовательности, можно обеспечить требуемый вид частотновременной ФН.

Часто, однако, бывает, что обеспечить кнопочный вид ФН удастся только по одной координате. В рассматриваемом случае чисто временная ФН пакета имеет вид

$$\dot{\Psi}(\tau, 0) = \sum_{m=-\infty}^{m=+\infty} \dot{\Psi}_0(\tau + mT, 0) \dot{\Psi}_a(m, 0), \quad (4.25)$$

где  $\dot{\Psi}_a(m, 0) = 0$ , если  $m \geq N$  и  $m \leq -N$ .

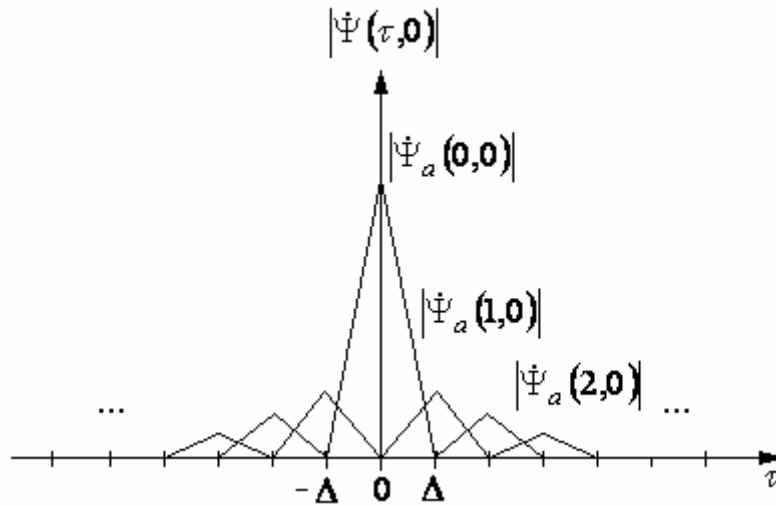


Рис.4.12. Модуль временной ФН кодированной пачки импульсов.

Для обеспечения максимального сжатия в сечении задержки и одновременно минимального уровня боковых лепестков идеально было бы, что

$$\Psi_a(m, 0) = \begin{cases} 1, m = 0 \\ 0, m \neq 0 \end{cases} \quad (4.26)$$

тогда сумма в (4.25) будет иметь единственное значение  $\dot{\Psi}_0(\tau, 0)$ , которое имеет длительность  $2\Delta$ , а в случае прямоугольного импульса ( $\dot{S}_0(t)$ )  $\Delta$ , по уровню 0.5. В тоже время длительность сигнала равна  $N\Delta$ .

Таким образом  $k_{сж} = N$ . Очевидно, что база сигнала в случае, когда  $\dot{S}_0(t)$  простой сигнал, определяется как  $B = N\Delta \frac{1}{\Delta} = N$ . Однако кодовой последовательности, для которой выполнялось бы выражение (4.26) не существует. Действительно у любой кодовой последовательности  $\dot{a}_0 \neq 0$  и  $\dot{a}_{N-1} \neq 0$ , тогда, по крайней мере  $\dot{\Psi}_a(N-1, 0) = \frac{E_0}{E} \dot{a}_{N-1} a_0^* \neq 0$ .

Т.о. сигналов с идеальной ФН не существует. Однако, существует достаточно много кодовых последовательностей, ФН для которых отличается от идеальной на приемлемую с точки зрения практики величину.

Кодовая последовательность может быть бинарной ( $a_i = \pm 1$ ), двоичной ( $a_i \in \{0, 1\}$ ), троичной ( $a_i \in \{0, \pm 1\}$ ),  $p$ -ичной ( $a_i \in \left\{0, \pm 1, \dots, \frac{p-1}{2}\right\}$ ). На практике используются также полифазные последовательности ( $a_i = \exp\left(j2\pi \frac{i}{p}\right), i = 1, p$ ).

Рассмотрим широко распространенный частный случай, когда  $a_i = \pm 1$ . Сигналы с такой кодовой последовательностью называют **фазоманипулированными**.

В этом случае  $\dot{\Psi}_a(N-1, 0) = \pm \frac{1}{N}$ . Т.о. боковой лепесток ФН кодовой

последовательности по модулю удовлетворяет неравенству

$$|\dot{\Psi}_a(i,0)| \geq \frac{1}{N}. \quad (4.27)$$

Ясно, что сигналом с идеальной в смысле (4.27) ФН можно считать фазоманипулированные сигналы, у которых

$$\dot{\Psi}_a(i,0) = \begin{cases} 1, & i = 0, \\ \pm \frac{1}{N}, & i \neq 0. \end{cases} \quad (4.28)$$

**а) Сигналы, кодированные кодом Баркера**

Кодовые последовательности, для которых выполняется свойство (4.28) существуют, и называются **последовательностями Баркера**.

К сожалению, существует только девять таких последовательностей при  $N = 2, 3, 4, 5, 7, 11, 13$ . Доказано, что не существует последовательностей Баркера нечетной длины для  $N > 13$ . Вместе с тем не обнаружено последовательностей Баркера с четной длиной кроме  $N = 2, 4$ .

$N$	Кодовая последовательность	$\dot{\Psi}_a(i,0), i = 0,1,\dots,N-1$
2	++	2 +
2	-+	2 -
3	++-	3 0 -
4	++-+	4 - 0 +
4	+++ -	4 + 0 -
5	+++ - +	5 0 + 0 +
7	+++ - - + -	7 0 - 0 - 0 -
11	+++ - - - + - - + -	11 0 - 0 - 0 - 0 - 0 -
13	+++++ - - + + - + - +	13 0 + 0 + 0 + 0 + 0 + 0 +

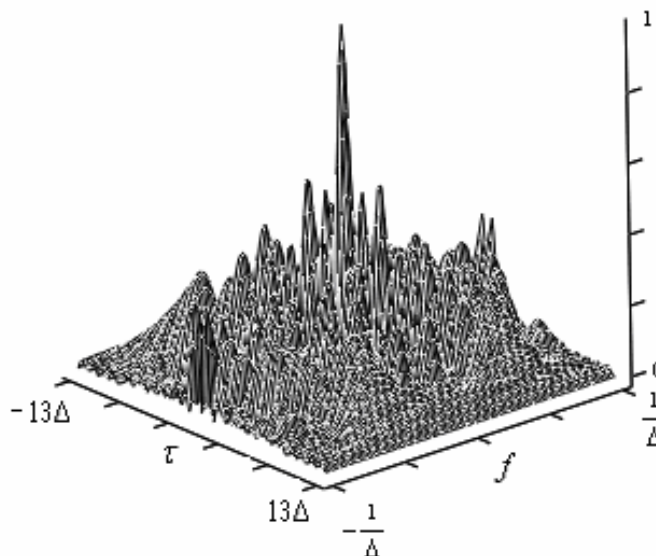


Рис.4.13. Модуль частотновременной ФН фазоманипулированного сигнала, кодированного кодом Баркера для  $N=13$ .

**б) Сигналы, кодированные M-последовательностями**

Для сигналов с большим значением  $N$  в качестве двоичной кодовой последовательности часто используют последовательности максимальной длины

или ( $M$ -последовательности).

Принцип формирования  $M$ -последовательности состоит в том, что члены последовательности выбираются таким образом, чтобы обеспечить максимальное число членов до момента, когда последовательность начнет циклически повторяться.  $M$ -последовательности существуют для  $N = 2^m - 1$ .

$M$ -последовательности генерируются с помощью рекуррентных формул вида

$$c_k = \alpha_1 c_{k-1} \oplus \alpha_2 c_{k-2} \oplus \dots \oplus \alpha_m c_{k-m}, \quad k > m, \quad (4.29)$$

где  $\oplus$  - сложение по модулю 2,  $c_k \in \{0,1\}$ ,  $a_k = 2(c_k - 0.5)$ . Первые  $m$  коэффициентов  $c_k$ , не равные нулю одновременно, выбираются произвольно.

Коэффициенты в формуле (4.29) можно определить из таблицы

$m$	$N$	$\alpha_1$	$\alpha_2$	$\alpha_3$	$\alpha_4$	$\alpha_5$	$\alpha_6$	$\alpha_7$	$\alpha_8$
2	3	1	1						
3	7	1	0	1					
4	15	1	0	0	1				
5	31	1	1	1	0	1			
6	63	1	0	1	1	0	1		
7	127	0	0	1	0	0	0	1	
8	255	0	1	1	1	0	0	0	1

$M$ -последовательности обладают идеальной ФН при циклическом сдвиге элементов последовательности

$$\Phi_a(m,0) = \frac{E_0}{E} \sum_{k=1}^{k=N} \dot{a}_{(k+m), \text{mod } N} a_k^* = \begin{cases} 1, & i = 0, \\ \pm \frac{1}{N}, & i \neq 0. \end{cases} \quad (4.30)$$

где запись  $r = (k+m), \text{mod } N$  означает вычисление индекса по модулю  $N$ , т.е. индекс  $r$  равен остатку от деления  $(k+m)$  на  $N$ . Т.о.  $M$ -последовательности оптимальны при передаче смежных пакетов.

Для обычной ФН (4.23) уровень боковых лепестков  $M$ -последовательности удовлетворяет неравенству

$$|\dot{\Psi}_a(i,0)| \geq \frac{1}{\sqrt{N}}. \quad (4.31)$$

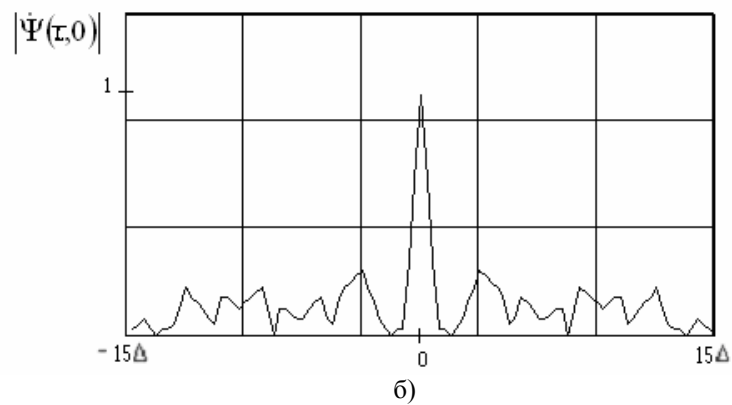
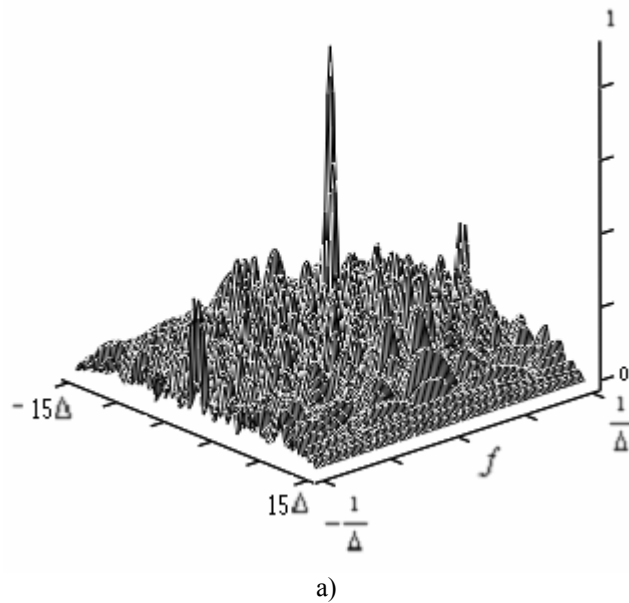


Рис.4.14. Модуль частотно-временной ФН а) и временная ФН б) фазоманипулированного сигнала, кодированного  $M$ -последовательностью для  $N=15$ .

На основе  $M$ -последовательностей часто формируют ансамбли сигналов, в которых сигналы помимо хороших автокорреляционных характеристик обладают хорошими взаимокорреляционными свойствами. Эти ансамбли используют в системах связи для организации многопользовательского режима с кодовым разделением каналов. Наиболее часто используются последовательности Голда и Кассами.

## ЗАКЛЮЧЕНИЕ

ПШС обычно обеспечивают хорошие свойства во временной области. Так например импульсы, кодированные кодом Баркера, обеспечивают идеальную ФН во временной области. На основе  $M$ -последовательностей часто формируют ансамбли сигналов, в которых сигналы помимо хороших автокорреляционных характеристик обладают хорошими взаимокорреляционными свойствами.

## КОНТРОЛЬНЫЕ ВОПРОСЫ

1. Каковы основные свойства сигналов, кодированных  $M$ -последовательностями?

2. Сравните между собой сигналы, кодированные кодом Баркера и сигналы, кодированные  $M$ -последовательностями.
3. Сравните между собой ЛЧМ импульс и сигнал с тем же значением базы, кодированный  $M$ -последовательностью?